

## 多軸応力下におけるコンクリートの弾塑性構成モデル

熊本大学工学部 学員 前田勝美  
同上 正貫平井弘義

## 1. 緒言

コンクリート材料の特性として、柱やはりにおける帶鉄筋などの拘束により、強度やじん性の増加がみられる。またコンクリートダムやプレストレストコンクリートの原子炉用圧力容器など、一方向の応力のみならず二方向あるいは三方向の応力を受けるコンクリート構造物は多く、このような条件でのコンクリートの変形と強度を十分的確に予測するには、多軸応力下でのコンクリートの応力-ひずみ関係が必要となる。

そこで本研究においては、弾塑性理論を採用し、コンクリートの一般的な力学特性を把握するため、適切な構成モデルを確立し、その適用性を既往の実験結果と比較検討により明らかにすることを、目的としている。

## 2. コンクリートの構成モデル

コンクリートの応力-ひずみ関係を定式化するため、弾塑性理論に基づいた構成モデルを提案する。  
それらは次のように書くこととする。

$$F = W \hat{I}_1^{2\alpha} - J_2 / R^2(\theta) = 0 \quad (1)$$

$$f_1 = J_2 / \hat{I}_1^2(\theta), \beta \hat{I}_1^{2\alpha} + k_1 \hat{I}_1^\alpha = 0 \quad (2)$$

$$g_1 = J_2 / R^2(\theta) + \gamma \hat{I}_1^{2\alpha} + k_3 \hat{I}_1^\alpha = 0 \quad (3)$$

$$f_2 = \hat{I}_1 + k_2 = 0 \quad (4)$$

$$g_2 = \hat{I}_1 + k_2 = 0 \quad (5)$$

ここで  $F$  は破壊関数、 $f_1, f_2$  は降伏関数、 $g_1, g_2$  は塑性ポテンシャル。 $W, \alpha, \beta, \gamma$  は材料定数である。

$R(\theta), R'(\theta)$  は次のようく定義されてる。<sup>1)</sup>

$$R(\theta) = [2r_c(r_c - r_s) \cos \theta + r_c(2r_c - r_s) \{4(r_c^2 - r_s^2) \times \cos^2 \theta + 5r_s^2 - 4r_s r_c\}]^{1/2} / (4(r_c^2 - r_s^2) \times \cos^2 \theta + (r_c - r_s)^2) \quad (6)$$

$R'(\theta)$  は式(6)において、 $r_s$  を  $R_c$  に、 $r_c$  を  $R_s$  に換えて式で表される。 $\theta = 0$  时、 $R_c$  は三軸圧縮、 $R_s$  は三軸伸張の時の値である。 $\theta = 90^\circ$  时、図2のようく定めてある。

$\dot{E}_{ij}$  は応力  $\sigma_{ij}$  の不变量 ( $\dot{E}_{ij} = \dot{\epsilon}_{ij} + 3f'_x, f'_x$ : 一軸引張強度)、 $J_{12}$  は偏差応力  $S_{ij}$  の2次不变量 ( $J_{12} = \frac{1}{2} S_{ij} S_{ij}$ )

である。 $k_1, k_2, k_3$  は硬化パラメータである。また硬化パラメータ速度は次のようく仮定されてる。<sup>2)</sup>

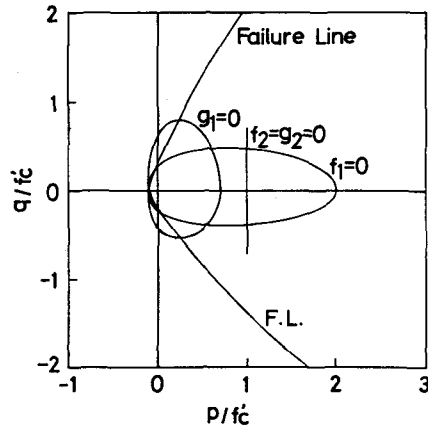


図1. 破壊関数、降伏関数、塑性ポテンシャル

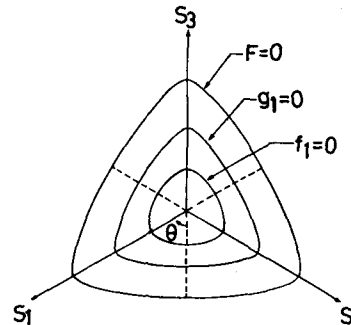


図2. 偏差平面上における破壊関数、降伏関数、塑性ポテンシャル

$$\dot{E}_{ij} = \phi_1 \dot{I}_1 \dot{E}_{ij}^{(P)} / 3 + \phi_2 S_{ij} \dot{E}_{ij}^{(P)} \quad (7)$$

$$\dot{k}_2 = \psi_1 \dot{I}_1 \dot{E}_{ij}^{(P)} / 3 \quad (8)$$

ここで  $\dot{E}_{ij}^{(P)}$  は塑性ひずみ速度である。式(1), (2), (3), (4), (5)は図1における  $P-f$  平面上に示され、図2における偏差平面上に示されている。ただし  $P = (r_1 + r_2 + r_3) / 3$ ,  $f = f_1 - f_2$  である。

## 3. 応力-ひずみ関係

非関連流動則に基づく塑性域における応力-ひずみ関係は次のようく書けよう。<sup>2)</sup>

$$\dot{E}_{ij}^{(P)} = - \frac{\partial f}{\partial S_{ij}} \frac{\partial S_{ij}}{\partial \dot{E}_{mn}^{(P)}} / \left( \frac{\partial f}{\partial R} \frac{\partial R}{\partial E_{mn}^{(P)}} \frac{\partial E_{mn}^{(P)}}{\partial \dot{E}_{mn}^{(P)}} \right) \quad (9)$$

ここで  $f, g, k$  は  $f_i, g_i, k_i$  ( $i=1, 2$ ) を表すものとする。

る。式(9)に式(2), (3)を代入すると次式を得る。ただし  
ここで三軸圧縮、三軸伸張ひずみを取扱うものとする。

$$\dot{E}_{ij}^{(n)} = -\left(\frac{\dot{J}_1}{Rf_0} + \alpha\left(\rho f_1^{2d-1} - \frac{J_1}{Rf_0}\right)\dot{J}_1\right) \times \left(\frac{S_{ij}}{R^2f_0} + \alpha\left(f_1^{2d} - \frac{J_1}{Rf_0}\delta_{ij}\right)\right) / \left(\alpha f_1^{2d} + \alpha f_1^{2d} + (2m-\alpha)\frac{J_1}{R^2f_0}\right) \quad (10)$$

ここで  $m = \phi_0 / \phi_1$  である。

式(9)に式(4), (5)を代入すると次式を得る。

$$\dot{E}_{ij}^{(n)} = -\dot{J}_1\delta_{ij} / (\phi_1 f_1) \quad (11)$$

#### 4. 実験結果と数値解析の比較

既往の実験結果<sup>3)</sup>に基づいて次のように定めた。

$$\alpha = 0.8214, \beta = 0.0157, \gamma = 0.2085, \omega = 0.2169, f_0 = R_c = 1.0, f_0 = 0.8110, R_f = 0.6501, m = 0.0159$$

$$(f_1 \leq f_0 \text{ の場合}) \phi_1 = \phi_0 / (f_1/f_0)^a, \psi_1 = \psi_0 (f_1/f_0)^a$$

$$(f_1 > f_0 \text{ の場合}) \phi_1 = \phi_0, \psi_1 = \psi_0$$

$$\therefore \phi_0 = -48.7, \psi_0 = -43.9, a = 1.22, f_0/f_c = 18.3$$

以上の式及び材料定数を用いて、以下に解析結果を示す。図3は一軸圧縮試験における体積ひずみ  $V$ 、軸方向ひずみ  $e_1$ 、横方向ひずみ  $e_2$  と  $\sigma/\sigma_c$  の関係を示している。ここで  $f'_c$  は一軸圧縮強度である。図4は等二軸圧縮試験における  $V$ ,  $e_1$ ,  $e_2$  と  $\sigma/\sigma_c$  の関係を示している。図3と図4の結果は文献3)の実験データと比較的良く一致している。しかし破壊近くでドライラタンシー特性までは十分に表現できていない。図5は三軸圧縮試験における軸方向ひずみ  $e_1$  と応力比  $\sigma/\sigma_c$  の関係を示している。また、図中の数字はそれぞれの試験における拘束圧 ( $\sigma_2 = \sigma_3 = \sigma_0$ ) を示すものである。なお、実験値は文献3)を引用している。拘束圧 5 ksi 以上の数値解析には、式(11)の影響が入っている。これは、 $f_2 = 0$  の初期降伏面が図1のよう  $\sigma_1/\sigma_0' = 1.0$  として仮定に基づくものである。実験結果を見らみると、拘束圧の増加に伴って軸強度  $\sigma_c$  が増大している。このようすを現象を捉えた構成モデルによつて適切に表現し得ることことが、実験データと数値解析結果との比較からわかる。

#### 参考文献

- K. J. William and Warnke E. P., 'Constitutive model for triaxial behavior of concrete', Seminar on Concrete Structures Subjected to Tri-axial Stresses, ISMES, Bergamo, Italy, 1974.
- H. Hirai and M. Satake, 'Elastic-plastic constitutive models for the behavior of sand', Proc. of JSCE, 343, 255-265(1984).
- Bazant, Z. P. and S. S. Kim, 'Plastic-Fracturing Theory for Concrete', Proc. ASCE, EM3, 407-428(1974)

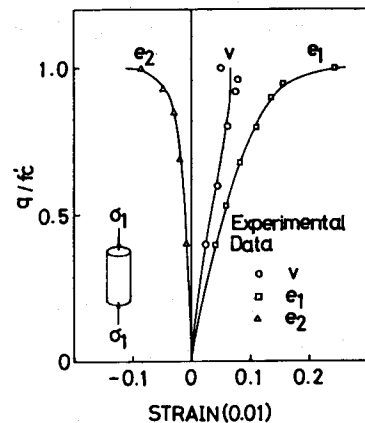


図3. 一軸圧縮試験におけるひずみと  $\sigma/\sigma_c$  の関係

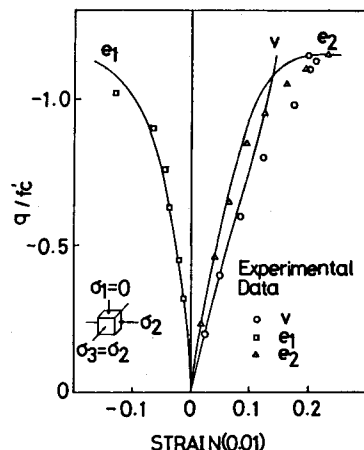


図4. 等二軸圧縮試験におけるひずみと  $\sigma/\sigma_c$  の関係

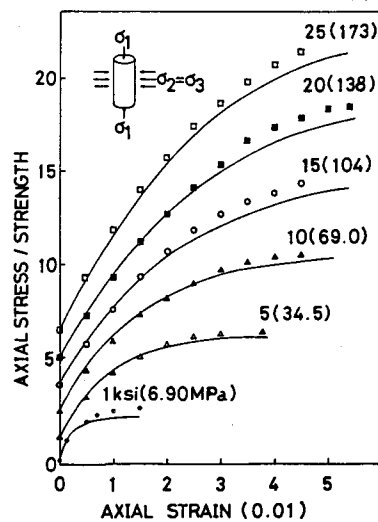


図5. 三軸圧縮試験における軸方向ひずみと  $\sigma/\sigma_c$  の関係